

FIG. 1

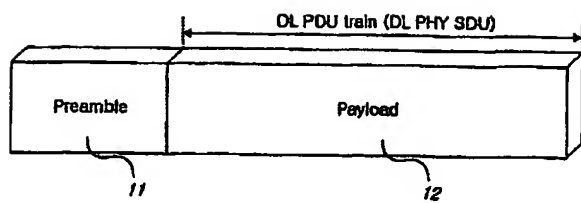


FIG. 2

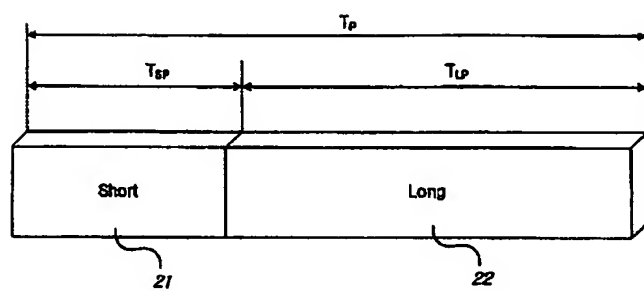


FIG. 3

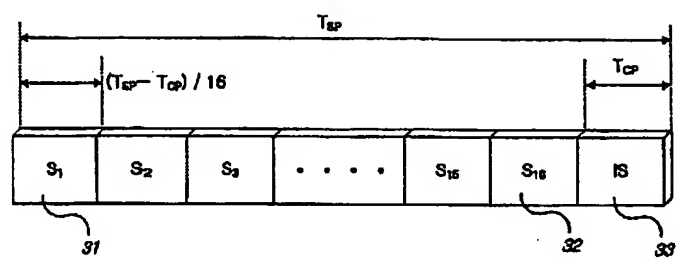


FIG. 4

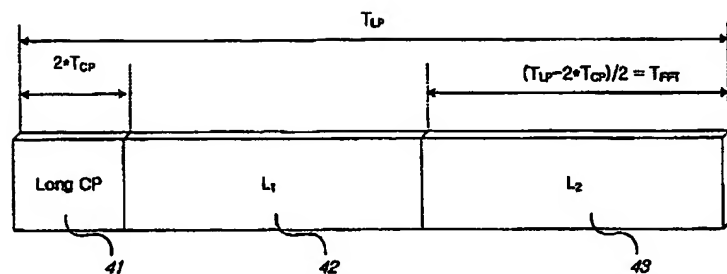


FIG. 5

parameter	value
T_p : PLCP Preamble Period	$6.8\mu\text{s} (= T_{\text{SP}} + T_{\text{LP}})$
T_{CP} : Cycle prefix period	$0.133\mu\text{s} (= T_U /16)$
T_{SHORT} : Short training sequence period	$2.27\mu\text{s}$
T_{LONG} : Long training sequence period	$4.53\mu\text{s}$

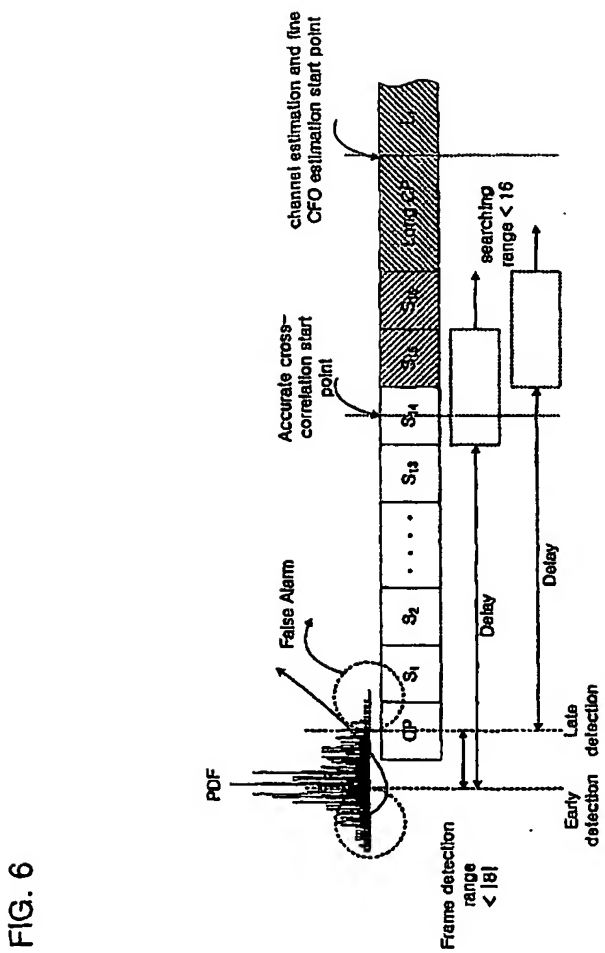


FIG. 6

FIG. 7

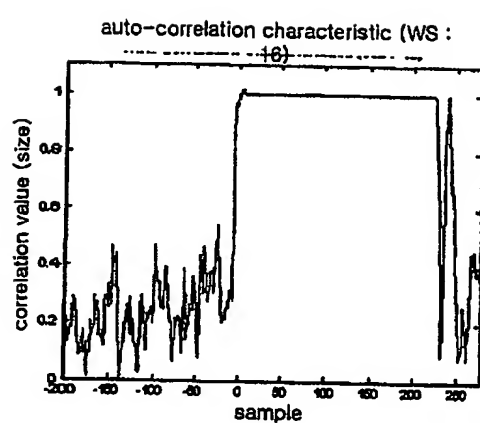


FIG. 8

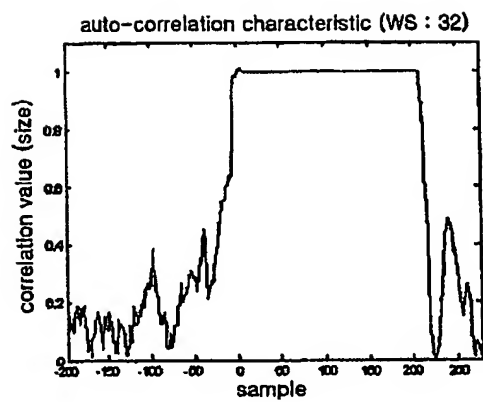


FIG. 9

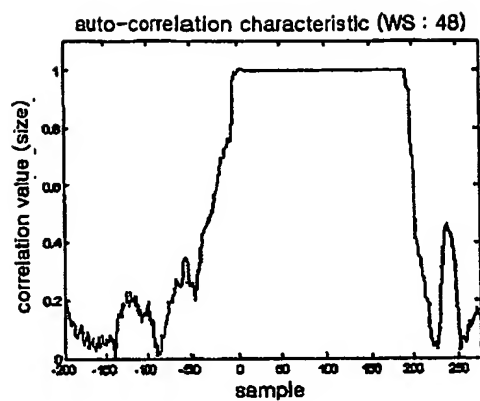
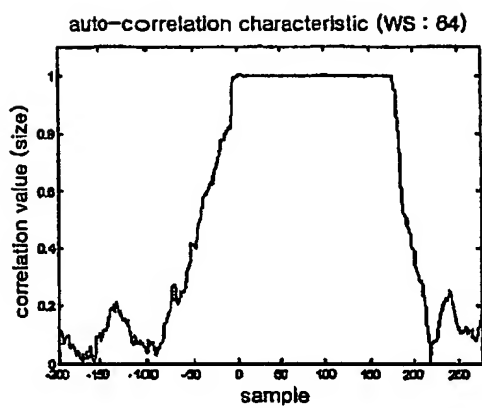


FIG. 10



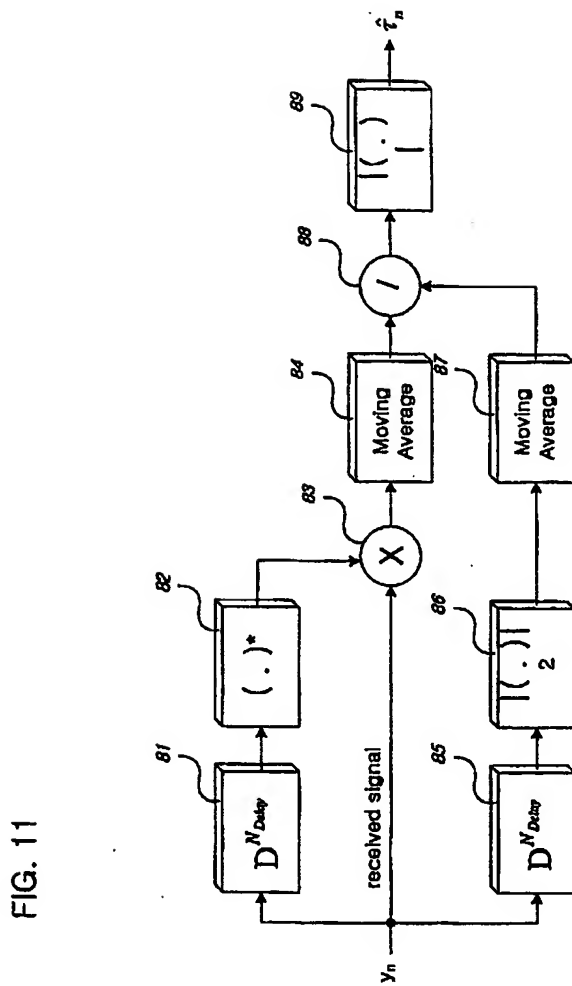
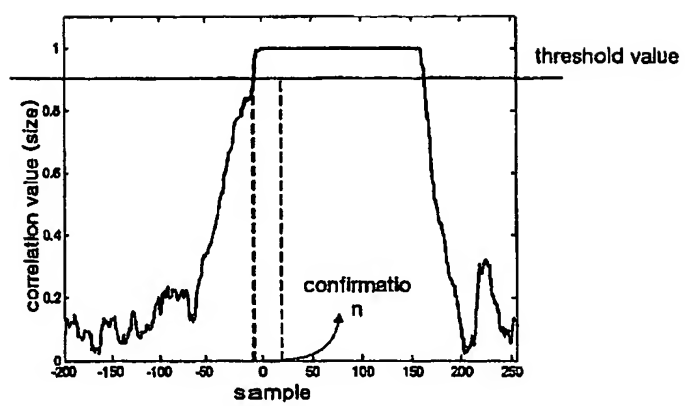


FIG. 12



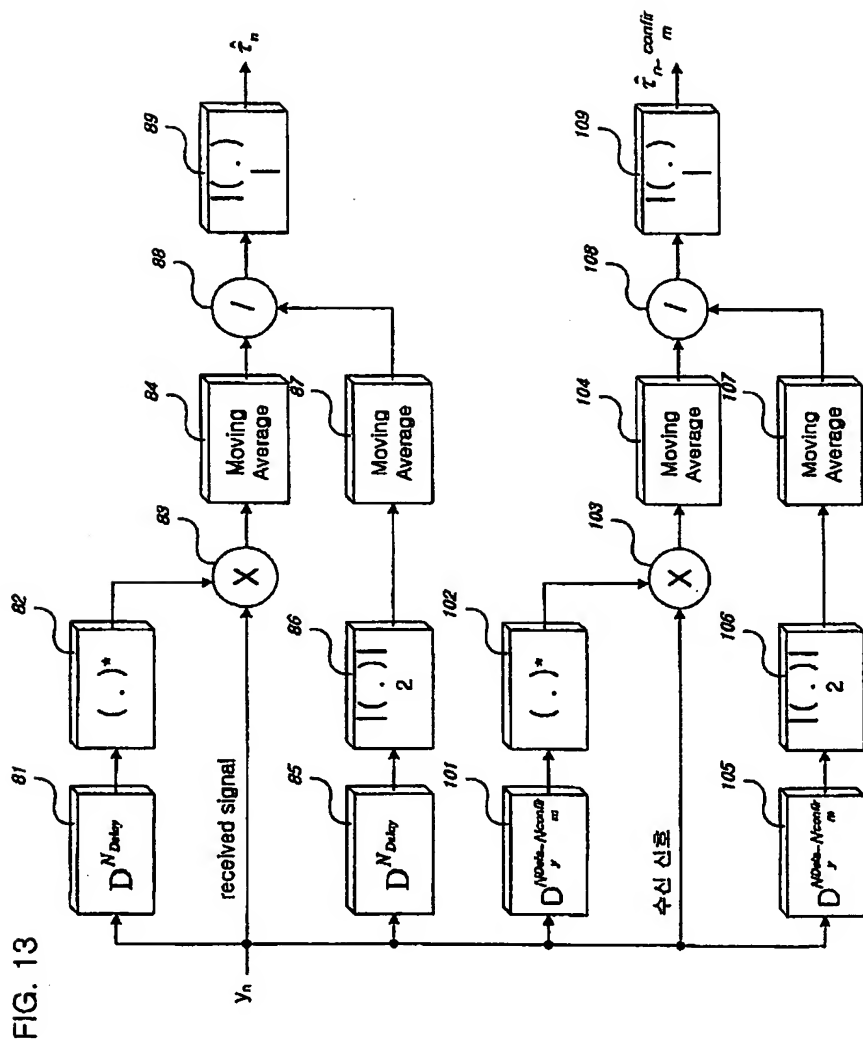


FIG. 14

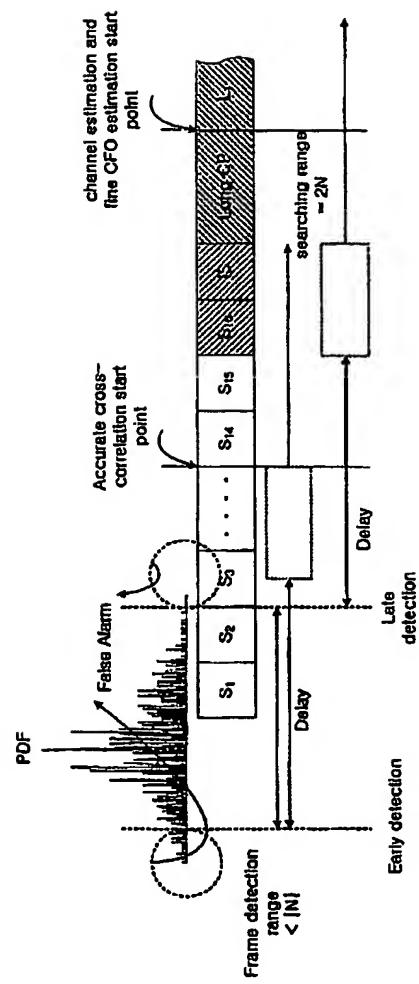


FIG. 15

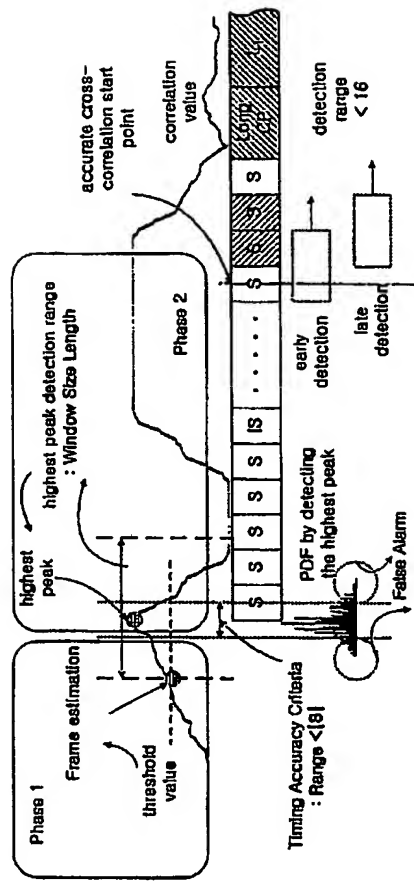


FIG. 16

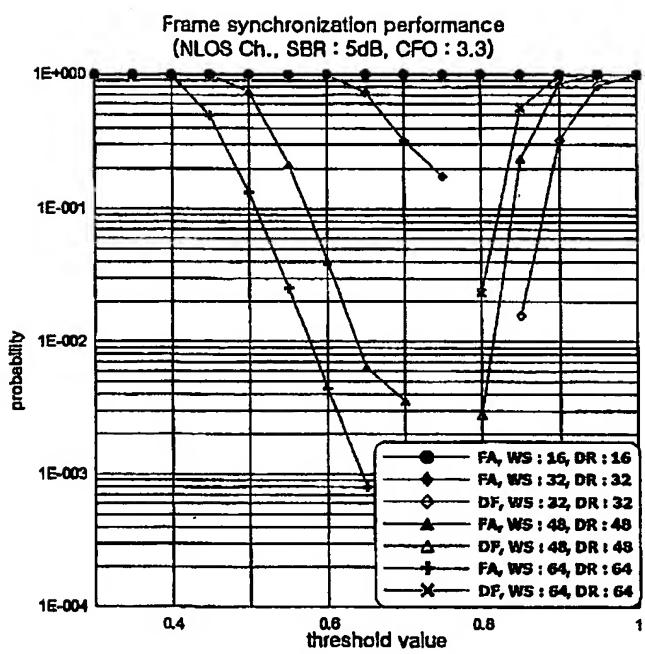


FIG. 17

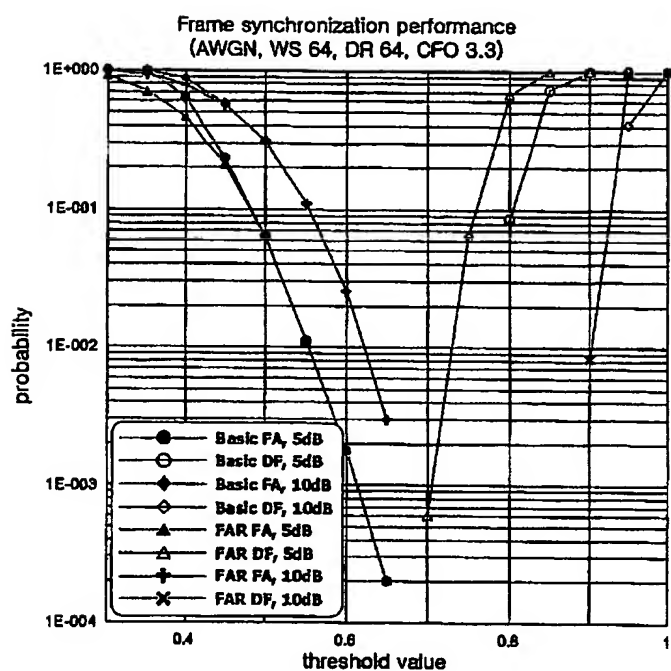


FIG. 18

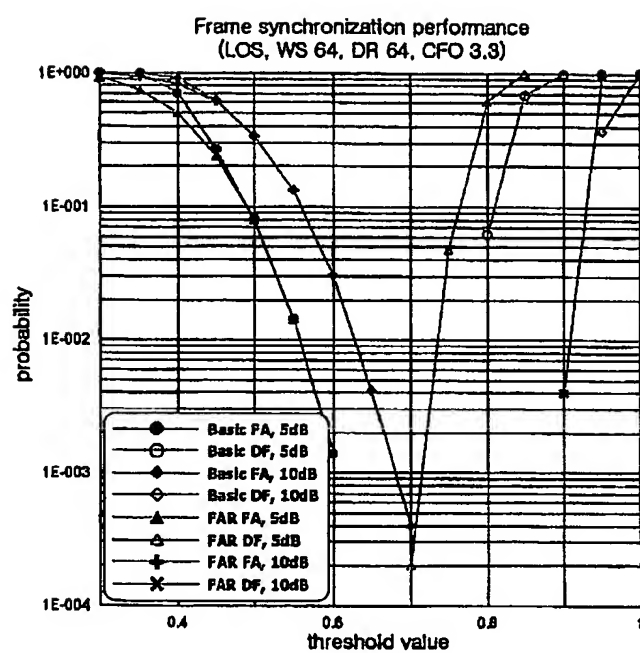


FIG. 19

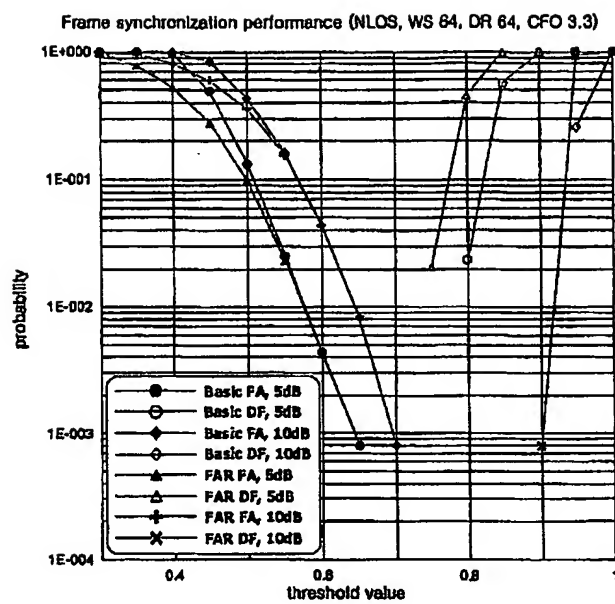


FIG. 20

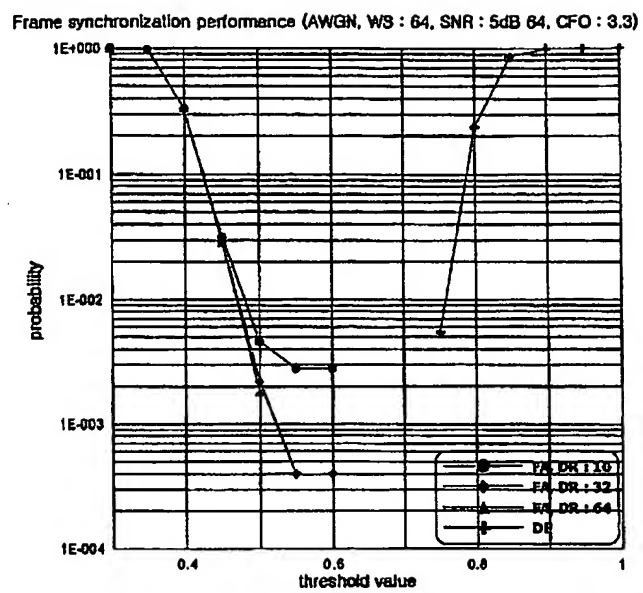


FIG. 21

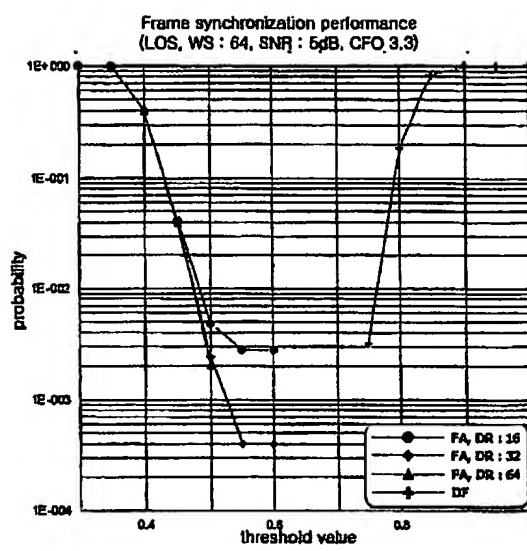


FIG. 22

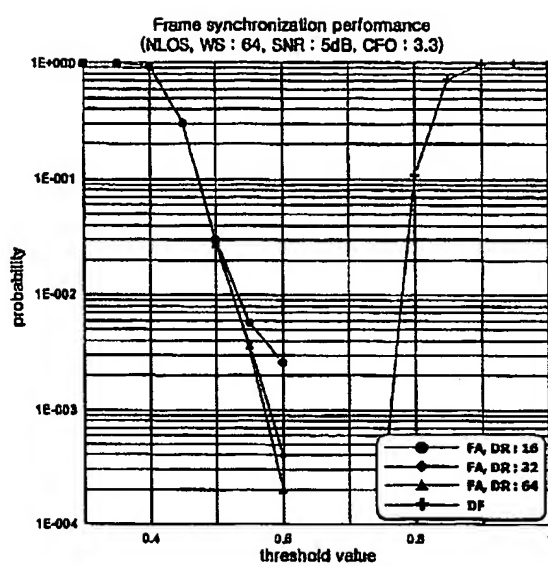


FIG. 23

channel	method 1			method 2 (detection range)		
	threshold	FA	DP	threshold	FA	DP
AWGN	0.65	2.000×10^{-4}	$<2.000 \times 10^{-4}$	0.60	2.800×10^{-3}	$<2.000 \times 10^{-4}$
LOS		$<2.000 \times 10^{-4}$	$<2.000 \times 10^{-4}$		2.800×10^{-3}	$<2.000 \times 10^{-4}$
NLOS		8.000×10^{-4}	$<2.000 \times 10^{-4}$		2.600×10^{-3}	$<2.000 \times 10^{-4}$

FIG. 24

channel	method 1			method 2 (detection range)		
	threshold	CFATC	CFDFC	threshold	CFATC	CFDFC
AWGN	0.65	2.000*10 ⁻⁴	<2.000*10 ⁻⁴	0.60	4.000*10 ⁻⁴	<2.000*10 ⁻⁴
LOS		<2.000*10 ⁻⁴	<2.000*10 ⁻⁴		4.000*10 ⁻⁴	<2.000*10 ⁻⁴
NLOS		8.000*10 ⁻⁴	<2.000*10 ⁻⁴		4.000*10 ⁻⁴	<2.000*10 ⁻⁴